

بررسی رفتار حالت بحرانی ماسه‌های رس دار تحت بارگذاری استاتیکی و سیکلیک

دیری شناسی
۲۰۱۳/۰۷/۰۲
دانشکده مهندسی عمران و محیط زیست، دانشگاه تربیت مدرس
(پایگاه اسناد) ۱۳۹۵/۰۷/۰۲

ابید نعیمی فر^{*} (استادیور)

دانشگاه آزاد اسلامی، واحد ملارد، گروه مهندسی عمران، ملارد، ایران

سید شهاب الدین پتروی (دانشیار)

دانشکده مهندسی عمران و محیط زیست، دانشگاه تربیت مدرس

رفتار حالت پایدار ماسه‌های حاوی ریزدانه‌ی خمیری با استفاده از آزمایش‌های سه محوری سیکلیک و استاتیک بررسی شده است. نتایج آزمایش‌ها نشان داده است که افزایش چگالی در درصد رسانه‌های کم ریزدانه منجر به افزایش قابل ملاحظه در مقادیر مقاومت حالت پایدار خواهد شد، در حالی که با افزایش درصد ریزدانه، تأثیر تراکم در مقاومت در گرنچه‌های زیاد تقریباً نامحسوس خواهد شد. همچنین با افزایش ریزدانه‌ی خمیری، نایابی‌داری ترکیبات افزایش می‌یابد و این روند بعد از رسیدن به یک حد آستانه معکوس می‌شود. حد آستانه مستقل از نوع بارگذاری است و برای آزمایش‌های سیکلیک و استاتیک تقریباً یکسان است. مقایسه‌ی نتایج مربوط به چند نوع ریزدانه با حالت‌های خمیری مختلف و در شرایط یکسان، نشان داده است که در زیر حد آستانه، افزایش حالت خمیری ترکیب متوجه نایابی‌داری بیشتر آن خواهد شد، ضمن آنکه با افزایش درصد ریزدانه‌ی خمیری، تأثیر حالت خمیری آن در نتایج بیشتر خواهد شد.

o.naeemifar@yahoo.com
shahab.yasrobi@gmail.com

واژگان کلیدی: سیکلیک، استاتیک، خط حالت پایدار، سه محوری، حد آستانه.

۱. مقدمه

پژوهشی در سال ۱۳۹۵^[۱] با انجام آزمایش‌های سه محوری سیکلیک به شجوهی کنترل تنش روی نمونه‌های بازسازی شده از ماسه و رس کافولن نشان داده شده است که افزایش فشار همه‌جانبه موجب کاهش تعداد سیکل‌های لازم برای رسیدن به روانگرایی خواهد شد، در پژوهش دیگری در سال ۱۳۹۰^[۲] نیز نشان داده شده است که با افزایش چگالی، تأثیر تنش پیش‌تحکیمی در مقاومت سیکلیک بیشتر خواهد شد. همچنین نتیجه‌گیری شده است که با افزایش درصد ریزدانه، مقاومت سیکلیک کاهش می‌یابد و اثر کاهشی آن با افزایش چگالی، تشدید می‌شود. همچنین برخی پژوهشگران با انجام آزمایش‌های موتوتیک^[۳] (۱۳۹۱) روی نمونه‌هایی که با دروش تراکم مرتبط و ریزش خشک ساخته شده بودند، نتیجه‌گیری کردند که با افزایش فشار همه‌جانبه، مقادیر مقاومت‌های بدست آمده از آزمایش‌های استاتیکی افزایش می‌یابد.^[۴] علاوه بر تراکم و فشار همه‌جانبه، درصد ریزدانه، شکل، نوع آن نیز در رفتار ماسه می‌تواند تأثیر قابل توجهی داشته باشد. به عنوان مثال، با افزایش اندازه دانه‌های سیلتی و همچنین تیروگوشه‌ترشدن آنها، پتانسیل روانگرایی ماسه‌هایی مورد آزمایش افزایش می‌یابد.^[۵] پژوهشگران دیگری^[۶] نیز بیان کردند که افزایش ریزدانه‌های غیر خمیری تا حدود ۳۰٪، موجب افزایش پتانسیل روانگرایی خواهد شد؛ در حالی که افزایش ریزدانه در مقادیر بیش از ۳۰٪، موجب افزایش مجدد مقاومت خواهد شد.^[۶]

برخی پژوهشگران^[۷] نیز نتیجه‌گیری کردند که با افزایش درصد ریزدانه

در سال‌های دور، ماسه‌ها به عنوان خاک‌های مستله‌دار شناخته نمی‌شدند و مسائل زوتونکنیکی بیشتر با بحث‌هایی مانند تحکیم و تورم خاک‌های رسی مطرح می‌شده است. پس از زلزله‌ی در نیگاتا (۱۹۶۴) و روانگرایی و خرابی‌های گسترده‌ی ناشی از آن، توجه پژوهشگران به خاک‌های ماسه‌بی‌ی و رفتار نایاب‌دار توده‌های ماسه‌بی تسبت و اشاعر در طی زلزله جلب شده است. مطالعات اولیه فقط بر روی ماسه‌های تمیز و سپس ماسه‌های سیلت‌دار انجام می‌شده است، چراکه به نظر می‌رسیده است چسبندگی ریزدانه‌ی خمیری مانع از رخداد روانگرایی در ماسه خواهد شد. به هر حال پس از زلزله‌هایی مثل نورث‌ریچ^[۸] (۱۹۹۴)، کوکاتلی^[۹] (۱۹۹۹)، و یا چی^[۱۰] (۱۹۹۹)، این مسئله در کانون توجه قرار گرفته است، که علاوه بر ماسه‌های تمیز و ماسه‌های سیلت‌دار، ماسه‌های رس‌دار نیز می‌توانند پدیده‌هایی مانند روانگرایی از خود بروز دهند و لذا وجود رس و چسبندگی نمی‌تواند مانع از بروز رفتارهای نایاب‌دار در آنها شود. پژوهش‌هایی که تاکنون در مورد رفتارهای نایاب‌دار ماسه‌ها و عوامل مؤثر در آنها صورت گرفته است، نشان داده است که تراکم، فشار همه‌جانبه، و درصد ریزدانه از مهم‌ترین پارامترهایی هستند که در رفتار حالت بحرانی یا حالت پایدار ماسه‌ها تأثیرگذار هستند.

در سال‌های اخیر نیز مطالعات مختلفی در این زمینه انجام شده است. در

* نویسنده مسئول

. تاریخ: دریافت ۱۳۹۳/۰۲/۱۳، اصلاحیه ۱۳۹۳/۰۲/۱۰، پذیرش ۹/۱۲/۱۳۹۳.

بررسی روند رفتاری در حالت بحرانی یا پایدار و یا بررسی تغییرات خطوط حالت پایدار نیز از دیگر موضوعاتی است که مورد توجه قرار گرفته است:

براساس تابع پژوهشی در سال ۱۵۰ نفاط ناشی از آزمایش‌های زهکشی شده و زهکشی شده در حالت پایدار روی یک خط قرار می‌گیرند.^[۷] همچنین تابع آزمایش‌های سه محوری مونوپنیک نشان داده است که با افزایش درصد سیلیت‌های غیرخمیری از صفر تا ۱۵ درصد، خط حالت پایدار به سمت پایین حرکت می‌کند که نشان‌گر افزایش پتانسیل روانگرایی است.^[۸]

پژوهش‌های سال‌های اخیر نشان داده است که ماسه‌های حاوی ریزدانه‌ی خمیری نیز می‌توانند در حالت پایدار از خود رفتار نایاب‌دار نشان دهند ولذا حالت خمیری ریزدانه نمی‌تواند مانع از بروز رفتارهای نایاب‌دار در آنها شود.^[۹] شواهد بسیاری از زلزله‌های اخیر نشان داده است که خاک‌هایی با PI برابر ۱۲ و یا حتی ۱۷٪ نیز روانگرا شده‌اند.^[۱۰]

در پژوهشی در سال ۷۰، با انجام آزمایش‌های برش پیچشی سیکلیک روی ماسه و بتنیت با روش ریزش خشک تتجه‌گیری شده است که اضافه‌شدن ۷٪ بتنیت موجب تسریع در روند افزایش فشار آب حفره‌بین می‌شود، در حالی که ادامه‌ی افزایش درصد بتنیت به ۱۵٪، موجب بالارفتن مجدد مقاومت می‌شود.^[۱۱]

تابع مشابه نیز توسط دیگر پژوهشگران گزارش شده است.^[۱۲]

مطالعات دیگری نیز نشان داده است که با افزایش درصد رس کاتولن، بهترین رفتار اتساعی نمونه محو می‌شود و در درصد رس برابر با ۲۰ و ۳۰٪، از ابتدا فشار آب حفره‌بین مثبت است.^[۱۳]

در مورد ریزدانه‌های خمیری علاوه بر درصد ریزدانه، حالت خمیری آن نیز اهمیت دارد. تابع برخی مطالعات نشان داده است که با گذشت PI از ۷٪، رفتار مصالح از حالت ماسه‌بین و احتمال روانگرایی، به رفتار رس‌مانند و عدم احتمال روانگرایی برآثر افزایش فشار آب حفره‌بین تبدیل می‌شود.^[۱۴]

مطالعاتی که در مورد زلزله‌ی کوکاتانی (۱۹۹۹) در ترکیه انجام شده است، نشان داده است که:

(الف) خاک‌هایی که آنها کمتر از ۱۲٪ باشد، قابلیت روانگرایی دارند؛

(ب) خاک‌هایی که PI بین ۱۲ تا ۱۸٪ باشد، پتانسیل متوسط روانگرایی دارند؛

(ج) خاک‌هایی با PI بیشتر از ۱۸٪، غیر روانگرا هستند.^[۱۵]

انجام آزمایش‌های گسترده بر روی ترکیبات ماسه با رس کاتولن (PI = ۳۰٪) و بتنیت (PI = ۳۴٪) نشان داده است که اهمیت نشانه‌ی خمیری به مرتب بیش از درصد ریزدانه است و لین نشانه‌ی خمیری بودن کل مصالح است، که نقش اساسی را ایفا می‌کند.^[۱۶]

در پژوهش دیگری با جمع‌بندی تابع آزمایش‌های مختلف مشخص شده است که با افزایش PI مصالح مورد آزمایش تا حدود ۱۳٪ مقاومت در مقابل روانگرایی کاهش می‌یابد، اما در ادامه، مقاومت مصالح روند افزایشی نامحسوسی را پیدا می‌کند.^[۱۷]

همچنین در پژوهشی در سال ۱۲۰، با انجام آزمایش‌های سیکلیک کنتل نتش روی ترکیبات ماسه با ۱۰٪ از رس‌های مختلف با مقادیر حالت‌های خمیری ۸، ۱۸، ۵۰ و ۳۷٪ درصد تیجه‌گیری شده است که هر چه حالت خمیری رس مورد استفاده در درصد ریزدانه‌ی ثابت افزایش یابد، مقادیر مقاومت در مقابل روانگرایی کاهش می‌یابد. ضمناً با افزایش چگالی، این روند کاهشی تشدید می‌شود.^[۱۸]

با جمع‌بندی نتایج مطالعات انجام شده به نظر می‌رسد که بررسی بیشتر در مورد رفتار ماسه‌های حاوی ریزدانه‌ی خمیری ضروری باشد. در این مطالعه، بررسی تأثیر ریزدانه‌های خمیری با حالت‌های خمیری مختلف مورد توجه قرار گرفته است. با انجام آزمایش با فشارهای همه‌جانبه و تراکم‌های مختلف تحت بارگذاری سیکلیک و مونوتکنیک این امکان فراهم شده است، که علاوه بر درصد ریزدانه و حالت خمیری آن، امکان بررسی رفتار حالت بحرانی یا پایدار نمونه‌ها در شرایط مختلف بارگذاری استاتیکی و سیکلیک فراهم شود.

در ادامه، پس از ذکر جزئیات لازم از مصالح مورد استفاده و روند انجام آزمایش‌ها و مشخصات آنها، در ابتدا تأثیر پارامتر تراکم در مشخصات رفتاری نمونه‌ها با استفاده از آزمایش‌های سیکلیک و استاتیکی مورد بررسی قرار گرفته است. سپس ضمن بررسی تأثیر درصد ریزدانه‌ی خمیری، تغییرات پتانسیل روانگرایی و مقاومت سیکلیک بر مبنای تعداد زیادی از آزمایش‌های استاتیکی و سیکلیک مورد بحث قرار گرفته است. همچنین برای بررسی کمی تغییرات پتانسیل روانگرایی از پارامتر حالت استفاده شده است. نهایتاً با استفاده از مقایسه‌ی نتایج ریزدانه‌های با خاصیت خمیری مختلف در آزمایش‌های استاتیکی و سیکلیک، تأثیر حالت خمیری ریزدانه نیز در رفتار زهکشی نشده‌ی ماسه‌های رس‌دار مورد بررسی قرار گرفته است.

۲. مشخصات مصالح

برای مصالح ماسه‌بین در انجام آزمایش‌ها از ماسه‌ی استاندارد سیلیسی شکسته‌ی فیروزکوه استفاده شده است (ماسه‌ی ۱۶۱)، که به رنگ زرد متعایل به طایبی است (جدول ۱). ریزدانه‌ی خمیری مورد استفاده، رس مصنوعی با نام تجاری SI است (جدول ۲). در شکل ۱، نیز مختصاتی‌های دانه‌بندی مصالح مورد استفاده ارائه شده است.

جدول ۱. مشخصات ماسه‌ی ۱۶۱.

| خاصیت ماسه‌ی ۱۶۱ | خصوصیات |
|------------------|------------------------------|
| ۲,۶۶ | چگالی ویژه (G _s) |
| ۹۲۸ | نسبت تخلخل پیشنهادی |
| ۰,۵۸۳ | نسبت تخلخل کمینه |
| ۰,۲۶ | D _{۵۰} (mm) |
| ۰,۱۵ | D _{۱۰} (mm) |

جدول ۲. مشخصات ریزدانه‌ی خمیری مورد استفاده.

| | |
|-------------|----------------|
| ۵٪ | (LL%) |
| ۲۸ | (PL%) |
| ۲۲ | (PI%) |
| ۲,۵۵ | G _s |
| Kaolinite / | ۶۱ ± ۲ |
| Quartz / | ۲۸ ± ۲ |
| Calcite / | ۲,۹ ± ۰,۵ |
| Others / | ۶ ± ۱ |

معیارهای یادشده بایکدیگر و در فواصل کوتاهی از هم اتفاق افتاده‌اند. آزمایش‌های سه‌محوری استاتیکی نیز تا رسیدن کرنش نموده به حالت پایدار ادامه پیدا کرده است.

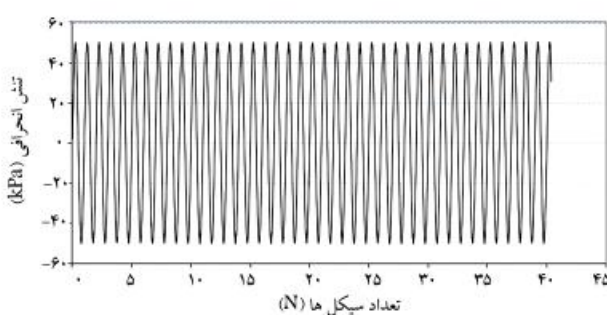
۴. نتایج

در این بخش نتایج بدست آمده از آزمایش‌های انجام شده در این پژوهش ارائه شده است. نتایج ارائه شده شامل: بررسی تأثیر تراکم در مقاومت سیکلیک نمونه‌ها، بررسی تأثیر درصد ریزدانه‌ی خمیری در مقاومت سیکلیک نمونه، و نهایتاً رسم خطوط حالت پایدار با استفاده از نتایج تعداد قابل توجهی از آزمایش‌های سیکلیک و استاتیک است. همچنین با مقایسه‌ی نتایج مریط به ریزدانه‌های با حالت‌های خمیری مختلف، نتایج ارزشمندی درخصوص تأثیر حالت خمیری ریزدانه مورد استفاده بدست آمده است. در ادامه، در هر بخش در مورد نتایج با جزئیات بیشتری بحث شده است. شایان ذکر است در نمودارهای ارائه شده هر ترکیب با علامت مانند A-B-C-D مشخص شده است، که در آن A نشان‌گر وزن مخصوص خشک نمونه بر حسب گرم بر سانتی‌متر مکعب، B فشار همه‌جانبه بر حسب کیلوپاسکال، C درصد ریزدانه‌ی نمونه، و D در آزمایش‌های سیکلیک نشان‌گر CSR اعمال شده در بارگذاری است. هر جا که یکی از این پارامترها متغیر بوده است، از علامت نمونه حذف شده است.

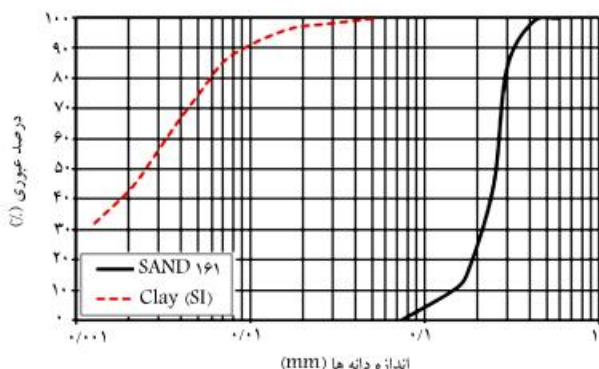
۱.۴. تأثیر تراکم در رفتار سیکلیک و استاتیک نمونه‌ها

در شکل ۲، نمونه‌یی از نمودارهای آزمایش‌های سه‌محوری سیکلیک ارائه شده است. این نمودار مریط به ترکیب ۰/۲۵-۱۰۰-۰-۰-۰ متر مکعب، ۰/۵-۱۰۰-۰-۰-۰ کیلوپاسکال، ۰/۰۵-۱۰۰-۰-۰-۰ درصد ریزدانه‌ی نمونه، و ۰/۰۱-۰-۰-۰-۰ CSR در آزمایش‌های سیکلیک با شکل A-B-C-D نشان‌گردید. هر جا که یکی از این پارامترها متغیر بوده است، از علامت نمونه حذف شده است.

شکل‌های ۴ و ۵ نیز نشان‌دهنده‌ی تغییرات ضربی فشار آب حفری و نیز کرنش محوری در مقابل تعداد سیکل بارگذاری برای نمونه‌یی مورد بررسی هستند. به منظور بررسی هم زمان تأثیر تراکم نمونه در رفتار سیکلیک آن، نمودارهای مریط به آزمایش روی نمونه ۰/۲۵-۱۰۰-۰-۰-۰ نیز در شکل‌های ۴ و ۵ ارائه شده است. در واقع هر دو نمونه و بارگذاری اعمال شده روی آنها کاملاً مشابه و فقط تراکم آنها متفاوت بوده است. با توجه به شکل ۴، در حالی که نمونه‌یی با تراکم ۰/۰۵ کیلوپاسکال



شکل ۲. نمودار بارگذاری سینوسی اعمال شده روی نمونه‌ی ۰/۰۵-۱۰۰-۰-۰-۰

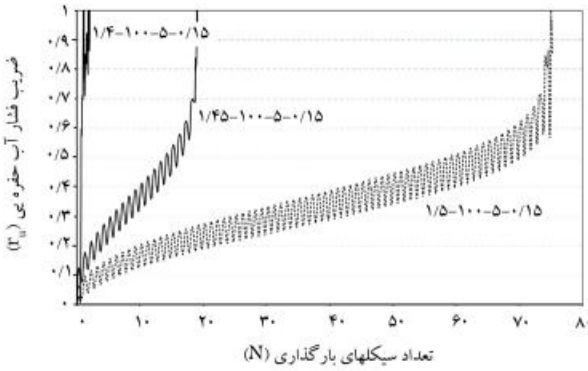


شکل ۱. منحنی‌های دانه‌بندی مصالح مورد استفاده.

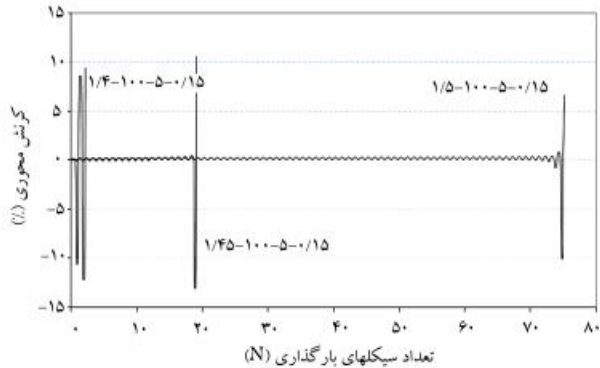
۳. روند آزمایش‌ها

آزمایش‌های انجام شده از نوع سه‌محوری سیکلیک کنترل تنش و سه‌محوری استاتیکی بوده است. همچنین دستگاه سه‌محوری مورد استفاده در این پژوهش، یک دستگاه سه‌محوری مدل سیکن و ساخت زاپن بوده است. دستگاه مذکور در ابتدا فقط قابلیت بارگذاری استاتیکی را داشته است، که نویسنده‌گان این نوشтар در راستای یک طرح پژوهشی، قابلیت بارگذاری سیکلیک را نیز به آن اضافه کرده‌اند. آزمایش‌های انجام شده در آزمیشگاه خاک و پی دانشگاه تربیت مدرس و در راستای رساله دکتری انجام شده‌اند.

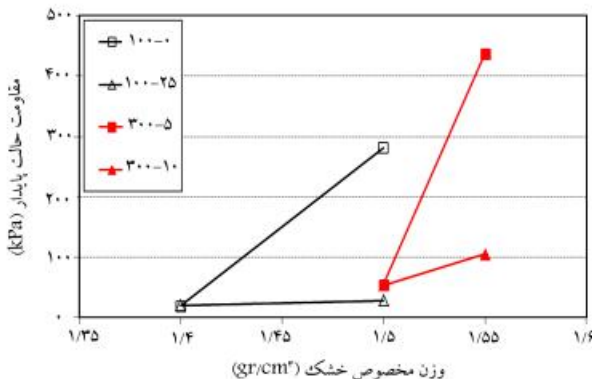
در آزمایش‌های سه‌محوری سیکلیک، بار قائم به صورت سیکلیک و با پسما遁 ۰/۰ هرتز بر نمونه وارد شده است. CSR یا نسبت نتش تناوبی مورد استفاده در آزمایش‌های متغیر بوده و با انجام چند آزمایش با CSR مختلف بر روی نمونه‌های مشابه، امکان گسیختگی و ایجاد نایابی‌گاری در نمونه در تعداد سیکل‌های مختلف فراهم شده است. در آزمایش‌های سه‌محوری استاتیکی، برش به صورت کنترل کرنش با سرعت معادل ۰/۵ میلی‌متر بر دقیقه انجام شده است. در تمامی آزمایش‌های نمونه‌ها ۰/۵ سانتی‌متر قطر و ۱۰ سانتی‌متر طول داشته و دو فشار همه‌جانبه ۰/۰۵ و ۰/۰۳ کیلوپاسکال در آزمایش‌های استاتیکی و سیکلیک مورد استفاده قرار گرفته‌اند. نمونه‌سازی آزمایش‌ها با روش تراکم مریط انجام شده است. به منظور در اختیار داشتن محدوده‌ی وسیعی از تراکم در نمودارها، نمونه‌ها با وزن مخصوص خشک اولیه‌ی ۰/۰۴، ۰/۰۴۵، ۰/۰۵، ۰/۰۵۵ کیلوپاسکال تراکم شده و ساخته شده‌اند. وزن مخصوص‌های ذکر شده متناظر با جگال‌های ۰/۰۸، ۰/۰۷، ۰/۰۶۱ و ۰/۰۴۵ در ماسه‌ی تمیز بوده‌اند. با توجه به خروج آب و کاهش حجم نمونه در حین تحکیم، مقدار نسبت تخلخل نهایی بعد از تحکیم با اندازه‌گیری حجم آب خروجی در حین تحکیم به دقت اندازه‌گیری شده است. پس از ساخت نمونه، گاز دی اکسید کربن از آن عبور کرده و سپس جریان آب بدون هوا از پایین به بالای نمونه برقرار شده است. در مرحله‌ی بعد، برای رسیدن به اشباع کامل، پس فشار از بالا و پایین نمونه به آن اعمال شده است. پس از تحکیم نمونه با فشار مؤثر تحکیمی مریط نظر پسته به نوع آزمایش، بارگذاری مریط نمونه آغاز و فشار آب حفری نیروی محوری، نیروی میزان کرنش نمونه با حسگرهای مریط قرات و با استفاده از دیتالاگر به رایانه منتقل شده است. در آزمایش‌های سه‌محوری سیکلیک، عموماً یکی از معیارهای رسیدن ضربی فشار آب حفری به ۱ (۱ = ۰/۰۲) و یا رسیدن کرنش محوری با دامنه‌ی دوبل به ۵٪ یا کرنش محوری با دامنه‌ی تک به ۲/۵٪ به عنوان معیار گسیختگی نمونه و پایان آزمایش فرض شده است. در آزمایش‌های انجام شده در این پژوهش، عموماً



شکل ۶. نمودار تغییرات ضریب فشار آب حفره‌یی در مقابل تعداد سیکل برای ماسه‌ی حاوی ۵٪ ریزدانه‌ی خمیری.



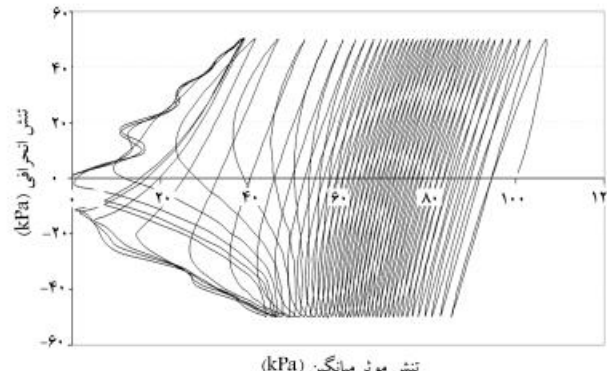
شکل ۷. نمودار تغییرات کرنش محوری در مقابل تعداد سیکل برای ماسه‌ی حاوی ۵٪ ریزدانه‌ی خمیری.



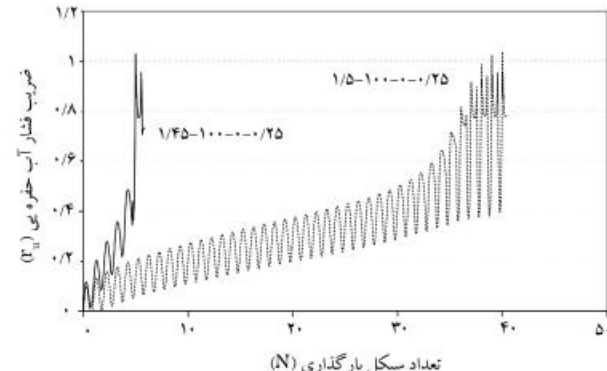
شکل ۸. نحوی تغییرات مقاومت حالت پایدار آزمایش‌های استاتیکی.

محوری در مقابل تعداد سیکل بارگذاری برای ترکیبات ماسه و ۵٪ ریزدانه‌ی خمیری ارائه شده است. مشاهده می‌شود که همهٔ نمونه‌ها ۵٪ ریزدانه داشته و تحت بارگذاری قرار گرفته‌اند. نمونه‌ها با وزن مخصوص خشک ۱/۵، ۱/۴۵ و ۱/۴ گرم بر سانتی مترمکعب آزمایش شده‌اند، که به ترتیب تحت اثر حدود ۱۰، ۲۰ و ۲ سیکل بارگذاری با CSR برابر با ۱/۱۵ روانگرا یا نایپایدار شده‌اند. این موضوع مجدداً نشان می‌دهد که در ماسه‌های حاوی ریزدانه نیز تا چه حد تراکم نمونه روی مقاومت سیکلیک آن تأثیرگذار است.

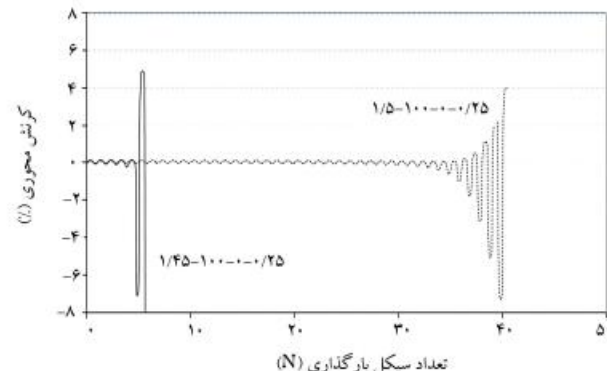
برای بررسی بهتر تأثیر تراکم در درصدهای مختلف ریزدانه، تغییرات مقاومت حالت پایدار در مقابل تغییرات تراکم برای ترکیبات مختلف در شکل ۸ ارائه و مقدار



شکل ۹. نمودار مسیر تنش آزمایش روی نمونه‌ی ۱/۵-۱۰۰-۰-۰/۲۵



شکل ۱۰. نمودار تغییرات ضریب فشار آب حفره‌یی در مقابل تعداد سیکل برای ماسه‌ی تمیز.



شکل ۱۱. نمودار تغییرات کرنش محوری در مقابل تعداد سیکل برای ماسه‌ی تمیز.

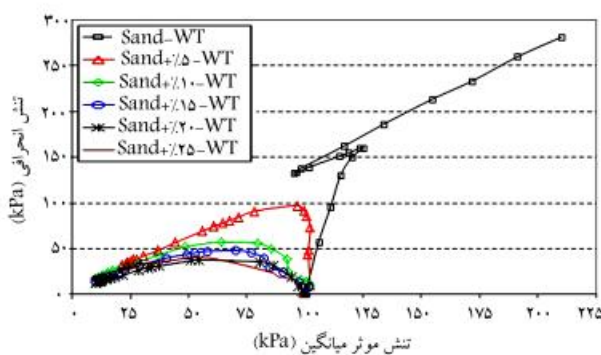
سانتی متر مکعب، تا حدود ۴۰ سیکل در مقابل بارگذاری اعمال شده مقاومت کرده است. نمونه‌ی با تراکم ۱/۴۵ گرم بر سانتی متر مکعب، فقط پس از حدود ۵ سیکل بارگذاری نایپایدار شده و ضریب فشار آب حفره‌یی آن بیشتر از ۱ شده است. با توجه به اینکه فشار همه‌جاتیه‌ی مورد استفاده در آزمایش‌ها برابر با ۱۰۰ کیلوپاسکال بوده است، این موضوع نشان‌گر آن است که اضافه فشار آب حفره‌یی به وجود آمده در نمونه‌ی مذکور بیش از ۱۰۰ کیلوپاسکال است. شکل ۵ نیز نشان می‌دهد که تقریباً به صورت همزمان با گذشت ضریب فشار آب حفره‌یی از ۱، مقدار کرنش محوری نیز به صورت ناگهانی زیاد شده و به بیش از ۵٪ دامنه‌ی دوبل رسیده است.

به منظور بررسی بحث انجام شده در مورد ماسه‌های حاوی ریزدانه در شکل‌های ۶ و ۷ به ترتیب نمودار تغییرات ضریب فشار آب حفره‌یی و نیز کرنش

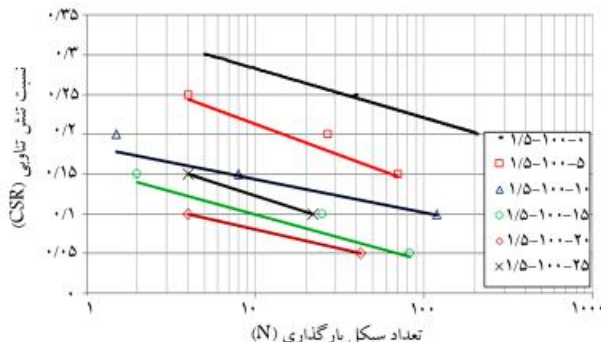
به نتایج آزمایش‌ها روی ترکیب ماسه با صفر تا ۲۵ درصد رس است. مهم‌ترین نکته‌ی مشاهده شده آن است که تقریباً کلیه‌ی نمونه‌های ساخته شده با روش WT، تقابل به بروز رفتار نرم شوندگی با کرشن و حرکت به سمت حالت پایدار بعد از یک افزایش اولیه و گذراز نقطه‌ی اوج دارند. همان‌طور که مشاهده می‌شود، فرآینش درصد رس موجب کاهش قابل ملاحظه‌ی در میزان مقاومت‌ها و نیز تایپایداری بیشتر در نوع رفتارها شده است، این افزایش تایپایداری به ویژه در درصدهای اولیه رس بیشتر بوده و به تدریج تأثیر آن کمتر شده است. در شکل ۱۵، نیز نمودارهای مسیر تنش مربوط به ترکیبات ۰-۱۰۰-۲۵-WT ارائه شده است. می‌توان مشاهده کرد که ماسه‌ی تمیز رفتار شبه پایدار دارد، به عبارت دیگر، مقاومت نمونه بعد از رسیدن به نقطه‌ی اوج دچار کاهش می‌شود و به سمت یک حالت شبه پایدار می‌گذرد. بعد از گذشتن از این حالت پایدار موقعیت نمونه مجدد رفتار سخت شوندگی با کرشن از خود نشان داده و مقاومت حالت پایدار آن به صورت مدام افزایش یافته است. همان‌طور که اشاره شده است، با افزایش فقط ۵٪ رس به ترکیب ماسه‌ی تمیز رفتار نمونه به صورت کامل تغییر پیدا می‌کند و به حالت نرم شوندگی کامل با کرشن بدبیل می‌شود. این روند با افزایش بیشتر رس تیز همچنان ادامه پیدا می‌کند.

۲.۲. نمودارهای CSR-N

در شکل ۱۱، تأثیر افزایش درصد ریزدانه‌ی خمیری در رفتار سیکلیک ماسه نشان داده شده است. نمودار ارائه شده، نشان دهنده‌ی تغییرات تعداد سیکل لازم برای روانگری (N) در مقابل نسبت تنش تناوبی وارد (CSR) است. همان‌طور که انتظار می‌رود، با کاهش نسبت تنش وارد، تعداد سیکل لازم برای رسیدن به تاپیاداری فرایش خواهد یافت. برای بررسی بهتر تأثیر درصد ریزدانه، سایر پارامترهای تأثیرگذار در نمودارها ثابت نگه داشته شده‌اند و نتایج ارائه شده مربوط به آزمون‌هایی هستند که فقط درصد ریزدانه‌ی آنها متغیر است. با توجه به شکل ۱۱، با افزایش درصد



شکل ۱۰. نمودارهای مسیر تنش ترکیبات ماسه و رس (WT: ۲۵-۱۰۰-۰: ۱۱,۵).



شکل ۱۱. نمودار N-CSR برای ترکیبات مختلف ماسه و ریزدانه‌ی خمیری اتزامک ۱۰۰ و فشار همه جانبه‌ی $1/5 \text{ gr/cm}^2$.

مقاومت حالت پایدار از نمودارهای تنش کرنش آزمایش‌های سه‌محوری استاتیکی استخراج شده است. می‌توان مشاهده کرد که در ترکیب ماسه‌ی تمیز (۱۰۰-۰)، افزایش تراکم از ۱/۴ تا ۱/۵ گرم بر سانتی‌مترمکعب موجب افزایش مقاومت حالت پایدار از ۲۰ تا حدود ۲۸ کیلوپاسکال شده است (حدود ۱۴ برابر). در مقابل برای ترکیب ماسه‌ی ۱۰۰-۲۵، که همان فشار همه‌جانبه ولی با درصد رس ۲۵٪ را دارد، تغییرات تقریباً نامحسوس است.

اگر ترکیب‌های ماسه‌های $300-5$ و $300-10$ را هم در نظر بگیریم، روند مشابه در آنها مشاهده می‌شود. ترکیب با 5% حساسیت شدیدی نسبت به تغییر چگالی دارد، در حالی که ترکیب با 10% ، به مراتب حساسیت کمتری را نشان داده است. به این ترتیب در هر دو فشار همه جانبه‌ی مورد استفاده، افزایش چگالی در درصدهای کم ریزدانه، منجر به افزایش قابل ملاحظه در مقدار مقاومت حالت پایدار خواهد شد، در حالی که با افزایش درصد ریزدانه، تأثیر تراکم در مقاومت در کرنش‌های زیاد تقریباً نامحسوس خواهد شد.

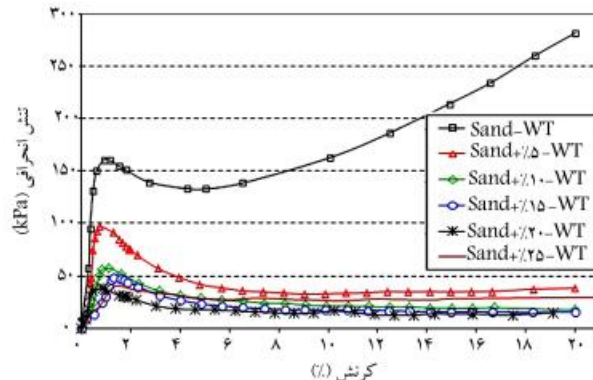
می توان تیجه گیری مذکور را به این صورت نیز بیان کرد که در مقادیر کم تراکم،
مقادیر مقاومت حالت پایدار برای ترکیبات با ریزدانه های مختلف تفاوت چندانی
ندارد، اما در نمونه های متراکم تر، مقاومت حالت پایدار با افزایش درصد ریزدانه،
کاهش چشمگیری را از خود نشان خواهد داد. پاید توجه کرد که به صورت کلی
قرارگیری ریزدانه های خمیری در فضای بین دانه های ماسه و کاهش قفل و بست بین
دانه ها موجب کاهش انرژی لازم برای شکستن این قفل و بست ها می شود. از آنجا
که نیروهای قفل و بست بین دانه هایی در نمونه های متراکم تر بیشتر هستند، لذا تأثیر
اضافه شدن س، د، آنها به مراتب محسوس تر است.

نتایج به دست آمده برخی پژوهشگران [۱۴]، (۱۹۹۰) روی ترکیبات ماسه با رس کاولن با $\text{PI} = ۳۵\%$ ، کاهش در مقاومت حالت پایدار با افزایش درصد رس تا ۷٪ نشان داده است. نتایج پژوهشی دیگر، [۲۰] نیز که مربوط به ترکیبات ماسه با رس کاولن با $\text{PI} = ۱۰\%$ است، کاهش مشابهی را در مقاومت حالت پایدار با افزایش درصد رس، تا ۷٪ نشان داده است.

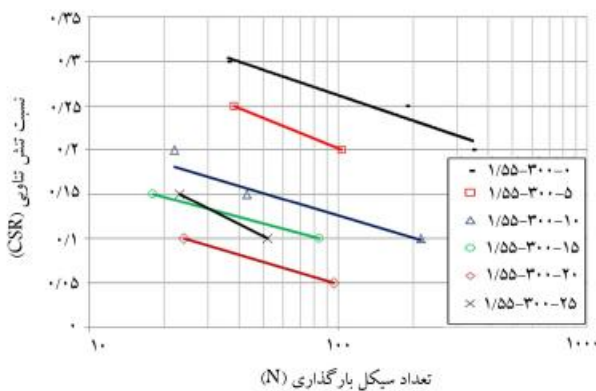
۲.۴. تأثیر ریزدانه‌ی خمیری در رفتار سیکلیک و استاتیک نمونه‌ها

۱.۲.۴. منحنی های مسیر تنش و تنش - کرنش استاتیکی

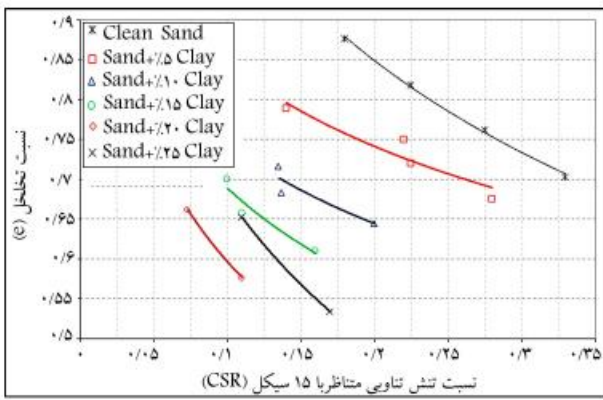
در شکل ۱۹ منحنی های تنش کرنش آزمایش های استاتیکی مربوط به ترکیبات -
 $WT = 25 \text{ kN}$ / $10^5 - 10^6 \text{ N/mm}^2$ ارائه شده است. این نامگذاری نشان می دهد که وزن مخصوص
 خشک همی تونوه ها برابر با $1/5 \text{ کیلوگرم}$ بر سانتی متر مربع و فشار همه جانبه مورد
 استفاده در آزمایش ها، 10^6 N/mm^2 کیلوباسکال بوده است. نمودار های ارائه شده نیز مربوط



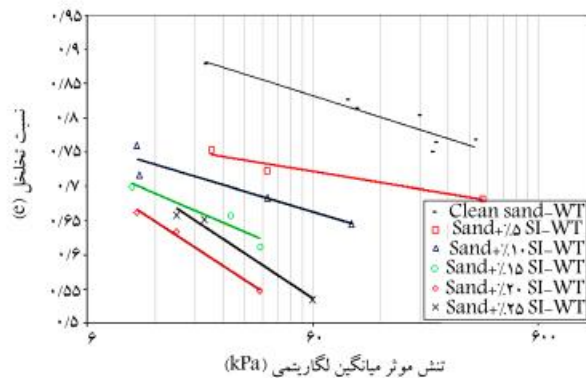
شکل ۹. نسودارهای تنش کریب‌های ماسه و رس (WT-۲۵؛ ۱۰۰-۰؛ ۱/۵).



شکل ۱۲. نمودار CSR-N برای ترکیبات مختلف مخلوط ماسه و ریزدانه خمیری از اکام ۱/۵۵ gr/cm^۳ و فشار همجهانی ۳۰۰ kPa



شکل ۱۳. خطوط حالت پایدار ترکیبات مختلف ماسه و رس براساس نتایج آزمایش‌های سیکلیک.



شکل ۱۴. خط حالت پایدار ناشی از آزمایش‌های استاتیکی.

حالات پایدار به سمت پایین به منزله افزایش پتانسیل روانگرایی و افزایش ناپایداری تلقی می‌شود.

مطابق شکل‌های ۱۳ و ۱۴، با افزایش درصد رس تا ۲۰ درصد، خطوط حالت پایدار به سمت پایین حرکت کرده است. با گذشت درصد ریزدانه از ۲۰٪، خط حالت پایدار مجدداً به سمت بالا حرکت کرده و لذا خط حالت پایدار مربوط به ترکیب ماسه و ۲۰٪ رس بالاتر از خط ماسه و ۲۰٪ رس قرار گرفته است. این موضوع نشان می‌دهد که چه در حالت استاتیکی و چه در حالت بارگذاری سیکلیک، افزایش درصد رس تا حدود ۲۰٪ موجب افزایش پتانسیل رفتارهای ناپایدار و یا پتانسیل

ریزدانه، نمودارها به سمت پایین حرکت می‌کنند. به عبارت دیگر، در یک تعداد سیکل ثابت، هر چه درصد ریزدانه‌ی ترکیب بیشتر شود، نسبت تنش تناوبی (CSR) کمتری برای رسیدن به ناپایداری لازم است. نکته قابل توجه آن است که با عبور درصد ریزدانه از ۲۰٪ روند فوق حالت معکوس به خود گرفته است، به طوری که خط مربوط به ترکیب ماسه با ۲۰٪ ریزدانه، بالاتر از خط مربوط به ترکیب ماسه با ۲۰٪ ریزدانه و حتی ۱۵٪ ریزدانه قرار گرفته است.

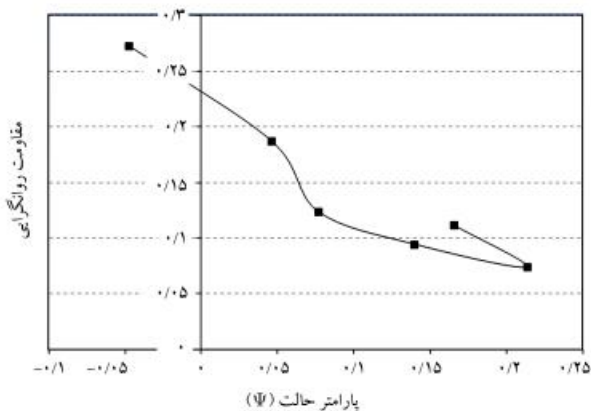
۴.۲.۴. خطوط حالت پایدار ماسه و ترکیبات آن

به منظور بررسی بهتر تأثیر ریزدانه خمیری در رفتار سیکلیک و استاتیک ماسه و نیز به منظور لحاظکردن کلیه پارامترهای تأثیرگذار مانند تراکم و فشار همجهانه می‌توان براساس تعداد قابل توجه آزمایش‌های انجام شده در این پژوهش، خطوط حالت پایدار را در فضای e-CSR مورد رسم کرد. لازم است توجه شود که CSR مورد استفاده در رسم نمودار، مقدار نسبت تنش تناوبی لازم برای رسیدن نمونه‌ها به ناپایداری در ۱۵ سیکل است، که معمولاً به نام مقاومت روانگرایی شناخته می‌شود. برای به دست آوردن این عدد لازم است هر ترکیب کمینه در دو CSR مختلف مورد آزمایش قرار گیرد و سپس با رسم نمودار مشابه شکل ۱۱ برای کلیه ترکیبات، CSR مربوط به ۱۵ ن = سیکل استخراج شود. به عنوان مثال در شکل ۱۲، نمودار تغییرات نسبت تنش تناوبی در مقابل تعداد سیکل لازم برای ناپایداری برای تعداد دیگری از ترکیبات ارائه شده است.

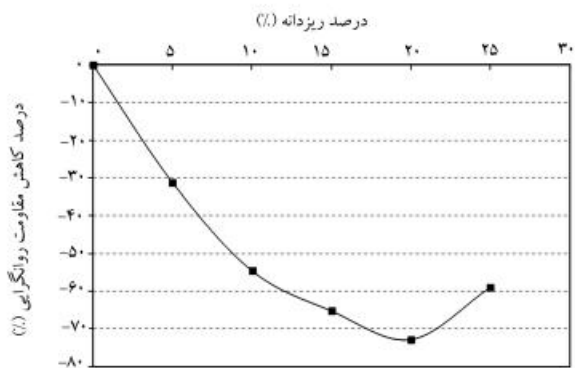
با رسم نمودارهایی مشابه با شکل‌های ۱۱ و ۱۲ برای کلیه ترکیبات مورد آزمایش، مقاومت روانگرایی یا CSR متناظر با ۱۵ سیکل استخراج شده و بر مبنای اعداد به دست آمده، نمودار شکل ۱۳، که نشان‌دهنده تغییرات مقاومت روانگرایی در مقابل نسبت تخلخل نمونه است، تیجه‌گیری شده است. به این ترتیب با داشتن نسبت تخلخل اولیه هر ترکیب، مقدار مقاومت روانگرایی آن از روی نمودار قابل پیش‌بینی است. همان‌طور که مشاهده می‌شود، با کاهش نسبت تخلخل بعد از تحکیم، مقاومت روانگرایی ترکیب افزایش خواهد یافت.

به منظور بررسی هم زمان بحث انجام شده در حالت استاتیکی، در شکل ۱۴ خطوط حالت پایدار ماسه و ترکیبات آن با صفرتا ۲۵ درصد رس براساس آزمایش‌های استاتیکی نیز ارائه شده است. خطوط حالت پایدار نشان‌دهنده وضعیت نمونه‌های مورد آزمایش در حالت پایدار است. خط حالت پایدار استاتیکی معمولاً در فضای نیمه‌لگاریتمی نسبت تخلخل در مقابل تنش مؤثر میانگین رس می‌شود. براساس تعریف پولوس در (۱۹۸۱)، حالت پایدار تغییرشکل برای یک توده‌ی خاک، حالتی است که توده‌ی خاک در حجم ثابت، تنش مؤثر نرمал ثابت، تنش برشی ثابت و سرعت ثابت به صورت پیوسته تغییرشکل می‌دهد. در این پژوهش رسیدن خاک به حالت مذکور، که معمولاً در کرشن‌های زیاد و با ثابت‌ماندن مقدار مقاومت و فشار آب حفره‌یی قرائت شده قابل تشخیص است، به عنوان حالت پایدار لحاظ شده است.

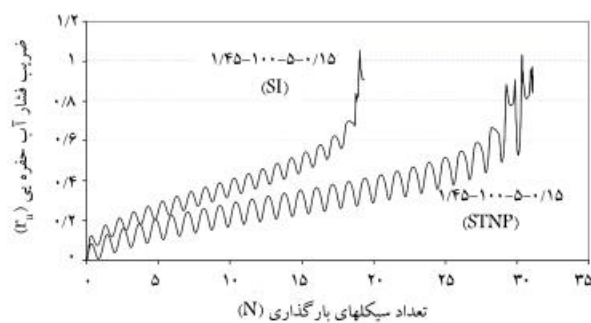
برای رسم خط حالت پایدار، نسبت تخلخل بعد از تحکیم نمونه‌ها روی محور عمودی نمایش داده شده است. مقدار نسبت تنش میانگین نیز از روی نقاط انتهایی متحننی‌های مسیر تنش در حالت پایدار برداشت و مجموعه نقاط، نشان‌گر خط حالت پایدار برای ترکیب مذکور است. براساس مبانی حالت بحرانی خاک، نمونه‌هایی که در بالای خط مذکور قرار دارند، تمایل به ایجاد رفتارهای سست و بروز رفتارهای نرم‌شوندگی با کرنش دارند، در حالی که نمونه‌هایی که در زیر خط ذکر شده قرار می‌گیرند، تمایل به بروز رفتارهای سخت‌شوندگی با کرنش دارند. بر همین اساس، حرکت خطوط



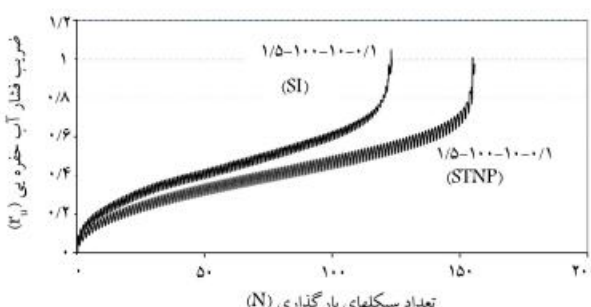
شکل ۱۵. ارتباط پارامتر حالت با مقاومت روانگرایی.



شکل ۱۶. درصد کاهش مقاومت روانگرایی با افزایش درصد ریزدانه.



شکل ۱۷. مقایسه رفتار نونهای خمیری مربوط به ترکیب ماسه با ۵٪ ریزدانه با حالت‌های خمیری مختلف.



شکل ۱۸. مقایسه رفتار نونهای خمیری مربوط به ترکیب ماسه با ۱۰٪ ریزدانه با حالت‌های خمیری مختلف.

روانگرایی شده است. با گذشتن درصد رس از ۲۰٪ رفتار نونه تغییر یافته و خط حالت پایدار مجدداً به سمت بالا و پایداری بیشتر حرکت کرده است. با جمع‌بندی نتایج آزمایش‌های سیکلیک و مونوتونیک می‌توان یک حد آستانه در حدود ۲۰٪ را برای ترکیبات مورد آزمایش در نظر گرفت، که با گذشتن درصد ریزدانه از آن باخت غالباً از حالت ماسه‌بی به حالت رسی تبدیل می‌شود.

۳.۴. بررسی کمی میزان تغییرات مقاومت روانگرایی

یکی از پارامترهایی که عموماً برای بررسی و پیش‌بینی تجووه‌ی تغییرات رفتار خاک در حالت بحرانی یا پایدار به کار می‌رود، پارامتر حالت Ψ است. این پارامتر به صورت اختلاف بین نسبت تخلخل بعد از تحکیم و نسبت تخلخل روی خط حالت پایدار به دست آمده از آزمایش‌های استاتیکی در فشار همه جانبه‌ی یکسان تعریف می‌شود. به منظور برقراری ارتباط بین نتایج آزمایش‌های استاتیکی و سیکلیک (شکل ۱۵)، پارامتر حالت از نتایج آزمایش‌های استاتیکی استخراج شده و با توجه به مقاومت روانگرایی محاسبه شده از شکل ۱۳، ارتباط بین پارامتر حالت و مقاومت روانگرایی برای ترکیبات مختلف به دست آمده است.

می‌توان مشاهده کرد که با افزایش پارامتر حالت، مقدار مقاومت روانگرایی دچار کاهش شده است. پارامتر حالت در ابتدا منفی بوده است، که نشان‌گر تمایل نونه‌ی ماسه‌ی تمیز به بروز رفتارهای اتساعی بوده و لذا مقاومت روانگرایی آن هم نزدیک به ۰٪ به دست آمده است، که مقدار بالایی است.

به منظور بررسی کمی یا بررسی درصد تغییرات رفتاری با افزایش درصد ریزدانه، در شکل ۱۶ درصد کاهش مقاومت روانگرایی نیز در مقابل افزایش درصد ریزدانه رسم شده است. همان‌طور که مشاهده می‌شود، با افزایش اولیه‌ی درصد رس تا ۵٪، مقاومت روانگرایی در حدود ۳۰٪ نسبت به مقاومت روانگرایی ماسه‌ی تمیز کاهش پیدا کرده است. با ۵٪ افزایش بیشتر، مقاومت روانگرایی باز هم روند مشابهی را نشان داده است، به طوری که کاهش آن نسبت به مقدار اولیه‌ی به حدود ۵۵٪ می‌رسد. با افزایش بیشتر ریزدانه‌ی خمیری، روند کاهشی کمتر شده است، به طوری که افزایش ۱۰٪ ریزدانه‌ی بیشتر و رسیدن درصد ریزدانه به ۲۰٪، فقط موجب ۱۵٪ کاهش بیشتر در مقاومت شده است. لذا افزایش ریزدانه بیشتر از ۲۰٪، نه فقط موجب کاهش بیشتر نشده است، بلکه بافت رسی بر بافت ماسه‌ی غالب شده و لذا مقاومت روانگرایی افزایش هم یافته است. به عبارت دیگر، بافت خاک از حالت ماتریکس ماسه‌بی به ماتریکس رسی تبدیل شده است.

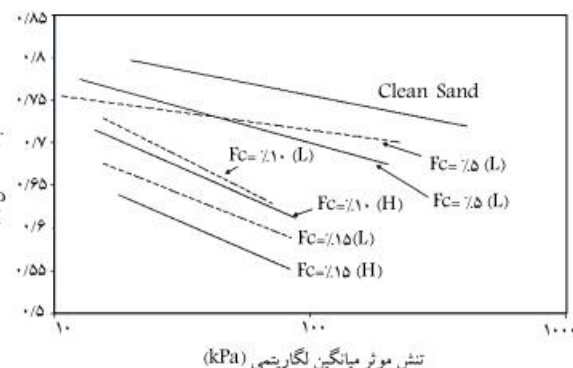
۴.۴. تأثیر حالت خمیری و خاصیت خمیری در رفتار سیکلیک و استاتیک نونه‌ها

علاوه بر درصد ریزدانه‌ی خمیری، یکی از عوامل مهمی که در رفتار نونه‌های حاوی ریزدانه‌ی خمیری تأثیرگذار است، میزان خاصیت خمیری یا حالت خمیری ریزدانه مورد استفاده است. به منظور بررسی تأثیر حالت خمیری ریزدانه‌ی مورد استفاده، علاوه بر آزمایش‌های سیکلیک انجام شده با رس SI، تعدادی آزمایش سیکلیک هم با رس مصنوعی دیگری به نام STNP با حالت خمیری حدود ۱۲٪ انجام شده است. در شکل‌های ۱۷ و ۱۸، نتایج بارگذاری سیکلیک بر روی ترکیبات مشابه، که فقط نوع رس به کاررفته در آنها متفاوت است، نشان داده شده است. همان‌طور که مشاهده می‌شود، با کاهش حالت خمیری ریزدانه‌ی مورد استفاده، تعداد سیکل‌های بیشتری برای رسیدن به ناپایداری یا روانگرایی لازم است و نیز نتایج مذکور مربوط به ترکیبات ماسه با ۵ و ۱۰ درصد رس است. براساس شکل ۱۷، در حالی که

ریزدانه تأثیر بیشتری در نوع رفتار دارد، اما با افزایش درصد ریزدانه وبالارفتن حالت خمیری ترکیب، به تدریج تأثیر حالت خمیری ریزدانه در تعیین نوع رفتار بیشتر خواهد شد. این مسئله منجر خواهد شد تا ترکیبات مشابه، که درصد ریزدانه‌ی یکسان ولی حالت خمیری متفاوت دارند، تفاوت‌های رفتاری بیشتری را نشان دهند.

۵. نتیجه‌گیری

- افزایش چگالی در درصدهای کم ریزدانه منجر به افزایش قابل ملاحظه در مقدار مقاومت حالت پایدار خواهد شد، در حالی که با افزایش درصد ریزدانه، تأثیر تراکم در مقاومت در کرنش‌های زیاد تقریباً نامحسوس خواهد شد.
- با افزایش درصد ریزدانه خمیری، خطوط حالت پایدار استاتیکی و سیکلیک به سمت پایین حرکت می‌کنند، که نشان‌گر افزایش پتانسیل روانگردی و بروز رفتارهای نایپایدار است. این روند با گذشتן درصد ریزدانه از ۲۰٪، روند معکوس پیدا می‌کند.
- با جمع‌بندی نتایج آزمایش‌های سیکلیک و مونوتونیک می‌توان یک حد آستانه در حدود ۲۰٪ را برای ترکیبات مورد آزمایش در نظر گرفت، که با گذشتן درصد ریزدانه از آن، بافت غالب از حالت ماسه‌یی به حالت رسی تبدیل می‌شود. حد آستانه‌ی مذکور را مستقل از نوع بارگذاری به دست آمده است.
- با کاهش حالت خمیری ریزدانه مورد استفاده، نایپایداری در تعداد سیکل‌های بیشتری به وقوع خواهد پیوست. براساس نتایج بدست آمده، در درصدهای پایین ریزدانه خمیری، درصد ریزدانه تأثیر بیشتری در نوع رفتار دارد، اما با افزایش درصد ریزدانه و بالارفتن حالت خمیری ترکیب، به تدریج تأثیر حالت خمیری ریزدانه در تعیین نوع رفتار بیشتر خواهد شد. این مسئله منجر خواهد شد تا ترکیبات مشابه، که درصد ریزدانه یکسان ولی حالت خمیری متفاوت دارند، تفاوت‌های رفتاری بیشتری را نشان دهند.



شکل ۱۹. خطوط حالت پایدار مربوط به ماسه و ترکیبات آن با رسم‌های با حالت‌های خمیری بالا و پایین براساس آزمایش‌های استاتیکی.

ترکیب ماسه با ۵٪ رس (SI) با حالت خمیری ۲۲٪، منجر به ایجاد نایپایداری در حدود ۱۹ سیکل شده است، استفاده از رس (STNP) با حالت خمیری ۱۲٪ منجر به افزایش تعداد سیکل‌های لازم برای نایپایداری تا حدود ۳۵ سیکل شده است. همچنین در شکل ۱۸، رای ترکیب ماسه با ۱۰٪ رس، کاهش حالت خمیری از ۲۲ به ۱۲ درصد، موجب افزایش تعداد سیکل‌های لازم برای نایپایداری از ۱۲۰ به ۱۵۰ شده است.

به منظور بررسی بیشتر این موضوع و نیز بررسی روند آن در حالت بارگذاری استاتیکی، از نتایج مطالعات نیمه‌فرمایشی فر و پرشی (۲۰۱۲) استفاده شده است.^[۱۱] شکل ۱۹، نتایج تعداد قابل توجهی آزمایش‌های استاتیکی روی ترکیبات ماسه‌یی با دونوع رس طبیعی را نشان می‌دهد. این دونوع رس، حالت خمیری حدود ۱۶٪ و ۱۱٪ دارند، که به ترتیب با علامت H و L در شکل نشان داده شده‌اند. مطابق شکل مذکور هر چند در درصدهای پایین ریزدانه، خطوط حالت پایدار ترکیبات ماسه با رس‌های مختلف با هم تفاوت کمتری دارند، اما با افزایش درصد رس این خطوط از هم فاصله می‌گیرند. به نظر می‌رسد در درصدهای پایین رس، درصد

پانوشت‌ها

1. Northridge
2. Kocaeli
3. Chi Chi

منابع (References)

1. Agung M. "Influences of confining pressure and cyclic deviator stress on liquefaction of clayey sand", Geotechnical Engineering for Disaster Mitigation and Rehabilitation (2005).
2. Stamatopoulos, C.A. "An experimental study of the liquefaction strength of silty sand in terms of the state parameter", *Soil Dynamics and Earthquake Engineering*, **30**(8), pp. 662-678 (2010).
3. Della, N., Arab, A. and Belkhatir, M. "Effect of confining pressure and depositional method on the undrained shearing response of medium dense sand", *Journal of Iberian Geology*, **37**(1), pp. 37-44 (2011).
4. Monkul, M.M. and Yamamoto, J.A. "The effect of non-plastic silt gradation on the liquefaction behavior of sand", *Proceedings of the 5th International Conference on Recent Advances in Geotechnical Earthquake Engineering and Soil Dynamics*, San Diego, California (2010).
5. Sitharam, T.G., Ravishankar, B.V. and Vinod, J.S. "A note on the effect of non plastic fines on the liquefaction and reconsolidation volumetric strain behavior of sands", *Proceedings of the 5th International Conference on Recent Advances in Geotechnical Earthquake Engineering and Soil Dynamics*, San Diego, California (2010).
6. Swamy, K. R, Boominathan, A., Rajagopal K. "Undrain response and liquefaction behavior of non plastic silty sands under cyclic loading", *Proceedings of the 5th Inter-*

- national Conference on Recent Advances in Geotechnical Earthquake Engineering and Soil Dynamics*, San Diego, California (2010).
7. Murthy, G., Prezzi, M., Salgado, R., Loukidis, D., "Undrain response of clean and silty sands", *Proceedings of the 5th International Conference on Recent Advances in Geotechnical Earthquake Engineering and Soil Dynamics*, San Diego, California (2010).
 8. Bray, J.D., Sancio, R.B., Durgunoglu, H. T., Onalp, A., Youd, T., Stewart, J., Seed, R., Cetin, O., Bol, E., Baturay, M., Cheristensen, C., Karadayila, T., "Subsurface characterization at ground failure sites in adapazari, Turkey", *Journal of Geotechnical and Geo Environmental Eng.*, **130**(7), pp. 673-685 (2004a).
 9. Chu, D.B.; Stewart, J.P.; Lee, S.; Tsai, J.S.; Lin, P.S.; Chu, B.L.; Seed, R.B.; Hsu, S.C.; Yu, M.S.; Wang, M.C.H. "Documentation of soil conditions at liquefaction and non liquefaction sites from 1999 Chi-Chi (Taiwan) earth quake", *Soil Dyn. Earthquake Eng.*, **24**(9-10), pp. 647-657 (2004).
 10. Boulanger, R., Meyers, M., Mejia, L. and Idriss, I. "Behavior of a fine grained soil during Loma Prieta earthquake", *Can. Geotech. J.*, **35**(1), pp. 146-158 (1998).
 11. Gratchev, I.B., Sassa, K., Osipov, V.I., Fukuoka, H. and Wang, G. "Undrained cyclic behavior of bentonite - sand mixtures and factors affecting it", *Geotech. Geol. Eng.*, **25**, pp. 349-367 (2007).
 12. Bouferra, R. and Shahrou, I. "Influence of fines on the resistance to liquefaction of a clayey sand", Laboratoire de Me'canique de Lille, University of Sciences and Technologies of Lille, Polytech Lille, France (2003).
 13. Derakhshandi, M., Rathje, E.M., Hazirbaba, K. and Mirhosseini, S.M. "The effect of plastic fines on the pore pressure generation characteristics of saturated sands", *Soil Dyn. Earthquake Eng.*, **28**(5), pp. 376-386 (2008).
 14. Boulanger, R.W. and Idriss, I.M. "Liquefaction susceptibility criteria for silts and clays", *J. Geotech. Geoenviron. Eng., ASCE*, **132**(11), pp. 1413-1426 (2006).
 15. Bray, J.D. and Sancio, R.B. "Assessment of the liquefaction susceptibility of fine-grained soils", *J. Geotech. Geoenviron. Eng., ASCE*, **132**(9), pp. 1165-1177 (2006).
 16. Polito, C.P. "The effects of non-plastic and plastic fines on the liquefaction of sandy soils", PhD Dissertation, Faculty of the Virginia Polytechnic Institute (1999).
 17. Sadek, S. and Saleh, M. "The effect of carbonaceous fines on the cyclic resistance of poorly graded sands", *Geotech. Geol. Eng.*, **25**, pp. 257-264 (2007).
 18. Park, S.-S. and Kim, Y.-S. "Liquefaction resistance of sands containing plastic fines with different plasticity", *Journal of Geotechnical and Geoenvironmental Engineering*, **139**(5), pp. 825-830 (2012).
 19. Georgiannou, V.N., Burland, J.B. and Hight, D.W. "The undrained behaviour of clayey sands in triaxial compression and extension", *Geotechnique*, **40**(3), pp. 431-449 (1990).
 20. Ovando-Shelley, E. and Perez, G.B.E. "Undrained behaviour of clayey sands in load controlled triaxial tests", *Geotechnique*, **47**(1), pp. 97-111 (1997).
 21. Naeemifar, O. and Yasrobi, S.S. "The collapse surface characteristics of clayey sands", *Geotechnical Engineering Journal*, **165**(6), pp. 379-390 (2012).